



مطالعه رفتار بازدارندگی بنزوتریآزول برای کنترل خوردگی در محیط‌های خورنده

سحر عبداللهی باغبان^۱، منوچهر خراسانی^{۲*}

۱- دانشجوی دکتری، دانشکده مهندسی پلیمر و رنگ، دانشگاه صنعتی امیرکبیر، تهران، ایران، صندوق پستی: ۱۵۸۷۵-۴۴۱۳

۲- استادیار، دانشکده مهندسی پلیمر و رنگ، دانشگاه صنعتی امیرکبیر، تهران، ایران، صندوق پستی: ۱۵۸۷۵-۴۴۱۳

تاریخ دریافت: ۹۷/۰۶/۲۷ تاریخ بازبینی نهایی: ۹۷/۰۶/۲۵ تاریخ پذیرش: ۹۷/۰۶/۳۱ در دسترس بصورت الکترونیک: ۹۷/۰۶/۳۱

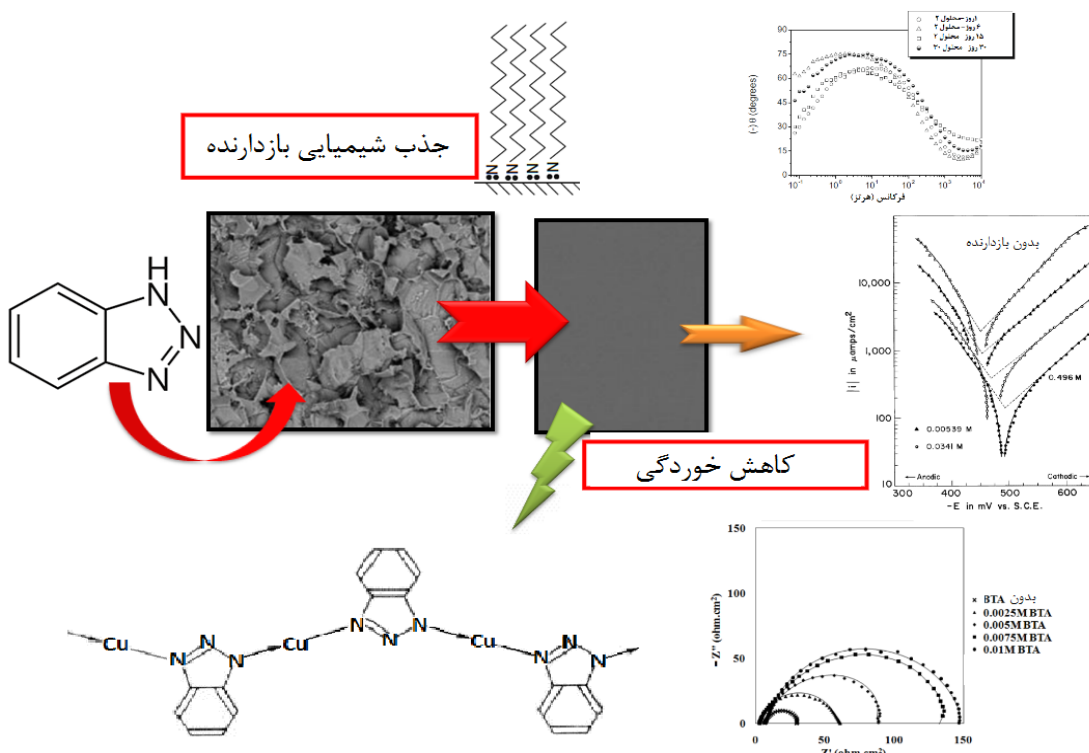
چکیده

یکی از روش‌های مهم کنترل خوردگی در محیط‌های گوناگون، استفاده از بازدارنده‌هایی نظیر نیترات‌ها و کرومات‌هاست. یافتن ترکیبات جایگزین برای این ترکیبات، بنا به دلایل زیست محیطی از اهمیت بسیار بالایی برخوردار است. بنزوتریآزول و خانواده‌ی آزول‌ها یکی از این جایگزین‌ها به شمار می‌روند که به طریق شیمیایی و با اشتراک‌گذاری جفت الکترون ناپیوندی اتم نیتروژن با اوربیتال خالی فلز، روی سطح جذب شیمیایی می‌شوند و از انحلال و خوردگی آن جلوگیری می‌کنند. در این مقاله‌ی مروری، خلاصه‌ای از مطالعات صورت گرفته بر روی رفتار بازدارندگی این ترکیب شیمیایی بر خوردگی فلزاتی مانند مس و فولاد در محیط‌های اسیدی (حاصل از اسید هیدروکلریک و اسید سولفوریک) و بازی گزارش شده‌است. مطالعات نشان می‌دهند که این ترکیب به دلیل داشتن توانایی تشکیل کمپلکس‌های فلزی و رسوبات نامحلول تکالیه (در مقیاس مولکولی و کمتر از ۵۰ آنگستروم) بر روی سطح فلز، خاصیت بازدارندگی بسیار بالایی در تمامی محیط‌ها دارد. این ترکیب در محیط‌های اسیدی رفتار بازدارنده‌ی مختلط و در محیط‌های بازی رفتار بازدارنده‌ی آندی، را از خود نشان می‌دهد. افزایش غلظت این ترکیب تا مقدار بهینه، موجب کاهش چگالی جریان خوردگی می‌شود و افزایش بیش از حد آن، تاثیری در کاهش نرخ خوردگی ندارد. وجود هرگونه ناخالصی در محیط خورنده، با توجه به ایجاد رقابت بین مولکول‌های بنزوتریآزول و ناخالصی بر سر جذب در مناطق فعال فلز، می‌تواند تأثیرات چشمگیری در عملکرد بازدارندگی آن داشته باشد.

واژه‌های کلیدی

بازدارنده‌ی جذب شونده بر روی سطح، خوردگی، بنزوتریآزول، جذب شیمیایی، بازدارنده‌ی آندی، بازدارنده‌ی مخلوط.

چکیده تصویری





Corrosion Inhibitory Behavior Study of Benzotriazole in Corrosive Environment

Sahar Abdollahi Baghban, Manouchehr Khorasani*

Department of Polymer Engineering and Color Technology, Amirkabir University of Technology (Tehran Polytechnic),
P. O. Box: 15875-4413, Tehran, Iran.

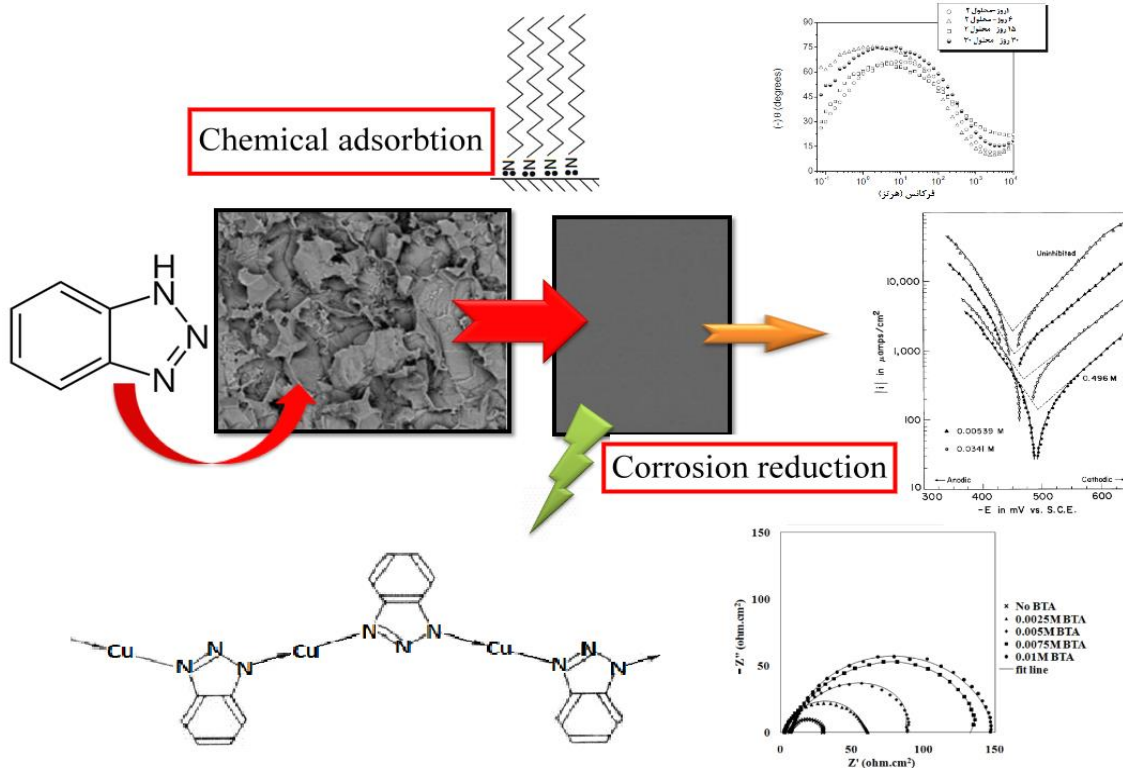
Abstract

One of the most important methods to control the corrosion in various environments is the use of inhibitors such as nitrates and chromates. Finding alternative compounds for these compounds is very important for environmental reasons. Benzotriazoles and the family of azoles are one of these alternatives that are absorbed to the surface chemically by sharing of the lone pair of electrons of a nitrogen atom with an orbital metal which prevent dissolving and corrosion. In this review article, a summary of the studies on the inhibitory behavior of this chemical composition in different conditions such as acidic (hydrochloric acid and sulfuric acid) and basic environments is reported. Studies have shown that this compound has a very high inhibitory effect in all environments due to the ability to form metal complexes and insoluble monolayers (less than 50 angstroms) on the metal surface. This compound exhibits a mixed and anodic inhibitory behavior in acidic and alkaline environments, respectively. Increasing the concentration of this compound to an optimal level reduces the corrosion density and its excessive increase does not have an effect on reducing the corrosion rate. The presence of any impurities in the corrosive environment, due to the competition between benzotriazole molecules and impurities on absorption in the active sites of the metal, can have significant effects on its inhibitory efficiency.

Keywords

Chemisorptive Inhibitors, Corrosion, Benzotriazole, Chemisorption, Anodic inhibitors, Mixed inhibitors.

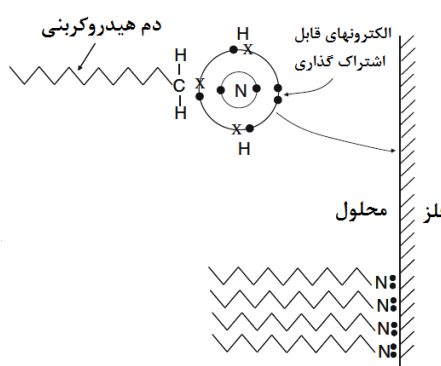
Graphical abstract



اکسید آهن را تشکیل می‌دهند. رویین کننده‌های غیراکسیدکننده مانند بنزوآت‌ها، آزلات‌ها و فسفات‌ها در ابتدا روی سطح جذب می‌شوند تا بتوانند یک لایه رویین را تشکیل بدهند. در بازدارنده‌های خوردگی رسوبی مانند فسفات‌ها و سیلیکات‌ها، یک واکنش رسوبی بین فلز در حال خوردشدن و بازدارنده رخ می‌دهد که منجر به ایجاد فیلمی سه بعدی بر روی سطح فلز خواهد شد [۱۹-۱۳].

۲-۱- بازدارنده‌های خوردگی جذب‌شونده بر روی سطح فلز:

ساختر شیمیایی و سازوکار عملکرد
بازدارنده‌های خوردگی جذب‌شونده، یک پیوند جذب-شیمیایی^۴ واکنش جذب-شیمی شامل انتقال بار واقعی و یا اشتراک جفت الکترون تنها بین بازدارنده خوردگی و سطح فلز است. در واقع مولکول‌های این نوع بازدارنده بر روی مناطق فعل سطح فلز جذب می‌شوند و این نقاط را بلوكه کرده و سرعت خوردگی را کنترل می‌کنند، به عبارتی از انحلال اتم‌های فلز جلوگیری می‌شود. این پدیده به ماهیت فلز، بار سطحی فلز، نوع الکتروولیت خورنده و ساختار شیمیایی بازدارنده وابسته است [۲۴-۱۵]. در این نوع از جذب نیز مانند جذب دیگر ذرات جذب‌شونده روی سطوح مختلف، مولکول‌های جذب-شیمیایی در یک حالت دینامیک جذب-واجذب^۵ قرار می‌گیرند و دارای زمان پایداری بر روی سطح هستند. این بازدارنده‌ها معمولاً حاوی اتم‌های نیتروژن، گوگرد یا اکسیژن هستند و الکترون‌دهنده‌گی آنها به اوربیتال خالی^۶ اتم‌های سطح فلز، اکسیدها و یا سولفات‌های روی سطح فلز از طریق الکترون اربیتال‌های P این اتم‌ها صورت می‌گیرد [۲۵]. مکانیزم جذب این نوع بازدارنده‌ها بر روی سطح در شکل ۱ نشان داده شده است. این ترکیب که یک آمن آلیاتیک است دارای اتم نیتروژن حاوی جفت الکترون تنها ای انتقال به فلز و یک دم هیدروکربنی می‌باشد. دم هیدروکربنی این مولکول از سطح فلز به سمت محلول جهت‌گیری می‌کند و یک حفاظت هیدروکربنی مصاعف آبگریز را به وجود می‌آورد که موجب دورکردن مولکول‌های آب و آنیون‌های آبدوست مانند Cl^- از روی سطح فلز می‌شوند. ساختار شیمیایی نمونه‌هایی از بازدارنده‌های آلی در شکل ۲ نشان داده شده‌اند [۲۷-۲۴].



شکل ۱- جذب شیمیایی یک بازدارنده‌ی جذب‌شونده بر روی سطح فلز و تشکیل لایه آبگریز توسط دم هیدروکربنی آن [۲۷].

۱- مقدمه

یکی از راههای ممکن برای کنترل خوردگی، تغییر محیط با استفاده از بازدارنده‌ها است و حتی گاهی تنها راه جلوگیری از خوردشدن یک فلز در محیط خورنده محسوب می‌شود؛ به عنوان مثال یکی از روش‌های شیمیایی متداول در زنگزدایی سطوح فلزی، شستشوی سطح با محلول‌های اسیدی است؛ اما این محلول‌های اسیدی می‌توانند منجر به خوردگی زمینه‌ی فلزی شوند، لذا استفاده از بازدارنده‌های خوردگی در محلول‌های شستشوی اسیدی بسیار متداول است. بازدارنده‌های خوردگی مواد شیمیایی هستند که با اضافه شدن به یک محلول (عموماً در مقادیر کم) مقاومت به خوردگی را افزایش دهند [۴-۱]. بازدارنده‌های خوردگی مقاومت به خوردگی را از طریق تغییر واکنش‌های الکتروشیمیایی در سطح مشترک فلز/ محلول افزایش می‌دهند. این افزایش مقاومت در برابر خوردگی یکنواخت با محاسبه درصد بازدارندگی (I/I₀) توسط رابطه ۱، قابل محاسبه است [۵-۷].

$$(1) \quad \%I = \frac{I_0 - I}{I_0} \times 100$$

در این رابطه جریان خوردگی از مقدار I_0 (چگالی جریان خوردگی در شرایط بدون بازدارنده) به مقدار I (چگالی جریان خوردگی در حضور بازدارنده) می‌رسد. سازوکار بازدارنده‌گی از خوردگی بازدارنده‌ها در محیط اسیدی، بازی و یا محلول خنثی و یا حتی از فلز به فلز دیگر با هم متفاوت است. در محلول‌های اسیدی، فیلم اکسیدی خنثی که بر روی سطح فلز وجود دارد، حل می‌شود و بازدارنده‌ها به طور مستقیم با سطح فلز در تعامل هستند؛ ولی در محلول خنثی، سطح فلز با لایه‌های اکسیدی پوشیده شده و این لایه‌ها نیز در واکنش‌های خوردگی مؤثر خواهند بود؛ از این‌رو به دلیل تعامل بیشتر بین فلز و بازدارنده در محیط اسیدی، بیشتر مطالعاتی که در زمینه بررسی رفتار بازدارنده‌های خوردگی صورت گرفته، در محلول‌های اسیدی بوده است [۹-۵].

۲- مروری بر انواع بازدارنده‌های خوردگی

بازدارنده‌های خوردگی می‌توانند به روش‌های مختلف دسته‌بندی شوند. در یکی از انواع دسته‌بندی، بازدارنده‌های خوردگی به سه گروه بازدارنده‌های آندی، کاتدی و مخلوط^۱ تقسیم شوند؛ برای مثال کرومات‌های بازدارنده آندی، برخی از فسفات‌ها بازدارنده‌ی کاتدی و بیشتر ترکیبات آلی بازدارنده‌ی مخلوط به شمار می‌روند. از دیدگاه دیگر، بازدارنده‌ها به دو دسته‌ی بازدارنده خوردگی جذب‌شونده^۲ و بازدارنده‌های تشکیل دهنده فیلم^۳ تقسیم می‌شوند [۱۴-۸ و ۵-۲].

بازدارنده‌های خوردگی تشکیل دهنده فیلم، خود به دو شکل بازدارنده‌های رویین کننده و بازدارنده‌های رسوبی وجود دارند. بازدارنده‌های رویین کننده یک لایه رویین بر روی سطح فلز تشکیل می‌دهند و می‌توانند جز ترکیبات اکسیدکننده و یا غیراکسیدکننده باشند. بازدارنده‌های اکسیدکننده مانند کرومات‌ها هستند که در حضور آهن و یا فولاد، به Cr(OH)_3 و یا Cr_2O_3 کاهش پیدا می‌کنند و یک لایه مخلوط اکسیدی از یون‌های کرومونیم و

⁴ Chemisorptive

⁵ Adsorption-desorption

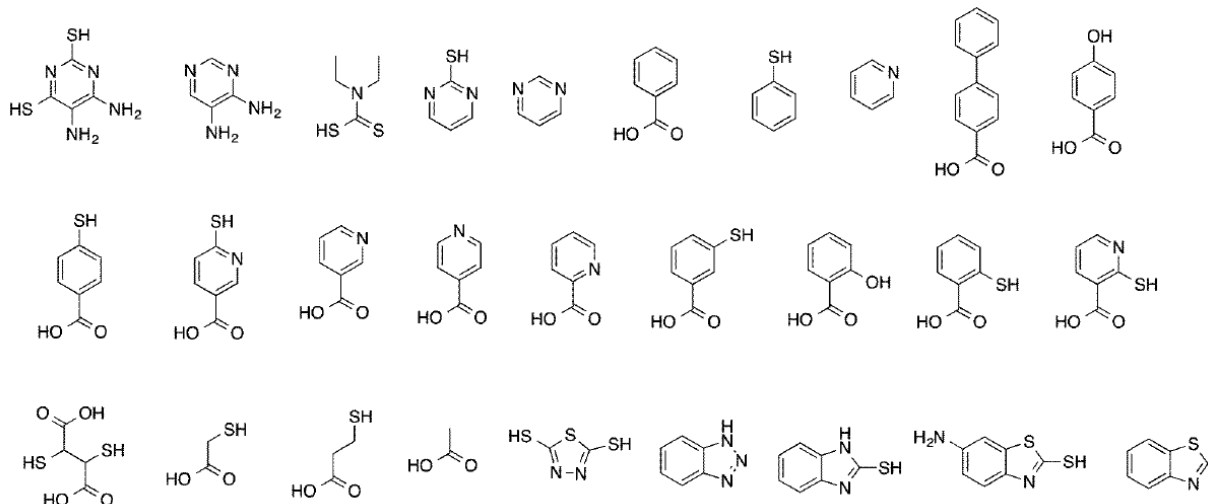
⁶ vacancies in orbital

¹ Mixed inhibitors

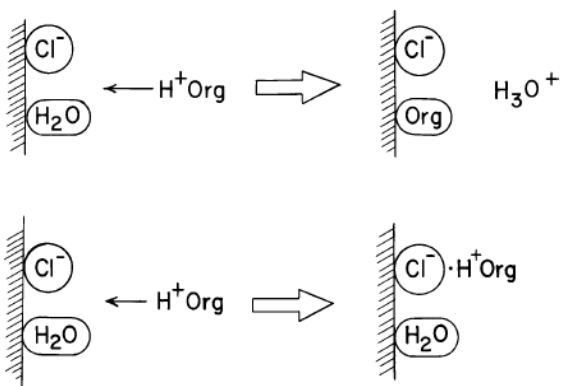
² Adsorption inhibitors

³ Film-forming inhibitors

مقالات



شکل ۲- ساختار شیمیایی نمونه هایی، از پذارنده های آبی، [۴].



شکل ۳- رقابت مولکول های بازدارنده، آب و یون های هالید برای جذب بر روی نقاط فعال سطح فلز [۴].

همچنین بازدارنده پروتونه شده می تواند به شکل الکتروستاتیک بر روی سطح پوشیده شده با هالیدها از طریق یون هیدروژن خود به سطح جذب شود. لایه دوگانه الکتریکی در جذب مولکول های بازدارنده و در نتیجه بازدارندگی از خودگی تاثیر زیادی دارد. مولکول های آلی باید از طریق لایه دوگانه الکتریکی بر روی سطح فلز جذب شوند. با ورود مولکول های آلی به لایه دوگانه الکتریکی هم ترکیب بندی و هم ساختار این لایه تغییر می کند. جذب یک مولکول طویل ضخامت لایه را افزایش می دهد و ثابت دی الکتریک و در نتیجه ظرفیت لایه دوگانه را کاهش می دهد [۱۶-۱۳].

۲-۲- عوامل موثر بر عملکرد بازدارنده‌های خودگی جذب‌شونده
د، و، سطح فلز

به طورکلی ترتیب افزایش خاصیت بازدارندگی این نوع بازدارنده‌ها، معکوس افزایش الکترونگاتیویته اتم‌های الکترونگاتیو موجود در آهسته،

زمانی که فلز در داخل محلول آبی غوطه‌ور می‌شود، سطح فلز با مولکول‌های آب، آبپوشیده می‌شود. برای جذب بازدارنده‌ی خوردگی روی سطح فلز باید این مولکول‌ها با مولکول‌های آب جایگزین شوند. جذب مولکول‌های آلی از محلول آبپوشی شده به صورت واکنش ۱ است.

$$\text{Org (sol)} + n\text{H}_2\text{O(ads)} \rightarrow \text{Org (ads)} + n\text{H}_2\text{O(sol)} \quad (1)$$

که n تعداد مولکول‌های آبی است که برای جذب مولکول آلی باید واجذب کنند. اگر یک آمین آلیفاتیک به شکل عمودی بر روی سطح جذب شود، دو مولکول آب باید واجذب شوند چرا که سطح مقطع آب در حدود 10 \AA^2 است و برای آمین آلیفاتیک این مقدار در حدود 24 \AA^2 است.

انرژی کلی جذب، شامل انرژی جذب ترکیب جذب شونده (بازدارنده) و هم مولکول واجذب کننده (آب) است که از رابطه ۲ قابل محاسبه است.

$$\Delta G_{\text{ads}} = \Delta G^{\text{org}} - \Delta G^{\text{H}_2\text{O}} \quad (1)$$

انرژی جذب ترکیب آلی و G^{org} ارزشی جذب آب است. انرژی آزاد جذب ترکیبات آلی مختلف از محلول بر روی سطح فلز در حدود ~ 30 kJ/mol) و انرژی آزاد جذب از فاز بخار در حدود $4\text{--}7$ kcal/mol (که با ترکیبات آلی سرعت واکنش‌های آندی را در محلول اسیدی تغییر می‌دهد. زمانی که محلول حاوی یون‌های جذب‌شونده بر روی سطح فلز مانند Cl^- و I^- است، مولکول‌های بازدارنده باید با این یون‌ها بر سر مکان جذب بر روی سطح فلز مبارزه کنند. این رقابت در شکل ۳ نشان داده شده است. همان‌طور که در شکل ۳ نشان داده شده است، در این نوع از جذب، بازدارنده‌های پروتونه‌شده، پروتون خودشان را در حین ورود به لایه دوگانه از دست می‌دهند.

به طور کلی ترتیب افزایش کارایی بازدارنده‌های آمینی به صورت $R_3N > R_2NH > RNH > R$ است. با توجه به اینکه مقادیر pK_a آمین‌های اولیه، ثانویه و ترشی بسیار به هم نزدیک است، برای اندازه‌گیری قدرت بازدارنده‌های ترکیبات آلیفاتیک (خطی یا حلقوی) از ثابت القا تاف^{۵*} استفاده می‌شود که مقادیر σ^* منفی و مثبت به ترتیب نشان‌دهنده خاصیت الکترون‌دهندگی و الکترون‌کشندگی هستند [۱-۵].

به طور کلی آمین‌های آلیفاتیک و هتروسیکلیک مثل پیریدین بازدارنده‌های خودگی بهتری نسبت به آромاتیک‌ها به شمار می‌روند. سه مولکول آنیلین، پیریدین و سیکلوهگزیل آمین سطح مولکولی و حلالیت یکسانی دارند؛ اما ترتیب خاصیت بازدارنده‌گی آنها همان‌گونه که در شکل ۵ نشان داده شده است، متفاوت است. ماهیت استخالفاها بر روی حلقه آروماتیک بر روی دسترسی الکترون‌ها جهت تشکیل پیوندهای جذب‌شیمیایی و کارایی بازدارنده‌ی خودگی موثر است. قدرت بازی و خاصیت بازدارنده‌گی ترکیبات حلقوی به خصوص آروماتیک توسط ثابت هامت^۶ (۵) اندازه‌گیری می‌شود. ترکیبات الکترون‌دهندگی منفی و الکترون‌کشندگی مثبت دارند [۲۳-۲۵].

در مطالعه‌ای که توسط پوپووا^۴ و همکارانش در سال ۲۰۰۶ انجام شد [۶]، تاثیر ساختار شیمیایی و غلظت پنج بازدارنده‌ی خودگی هتروسیکلیک شامل ایندول (I)^۷، بنزیمی‌دازول (BI)، بنزوتری‌آزول (BTA)، بنزوتریازول (BNS) و بنزوتیادی‌آزول (BTD) که ساختار شیمیایی آنها در شکل ۶ نشان داده شده است، بر روی سرعت خودگی فولاد زنگنزن در محیط اسید هیدروکلریک با غلظت یک مولار بررسی شد.

² Taft induction constants

³ Hammett

⁴ Popova

⁵ Indole

⁶ Benzimidazole

⁷ Benzothiazole

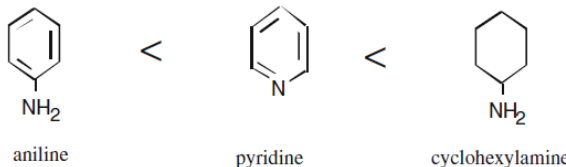
(ترتیب افزایش خاصیت بازدارنده‌گی: $O < N < Se$). بنزوتری‌آزول^۱ (BTA) که ساختار شیمیایی آن در شکل ۴ نشان داده شده است، یکی از مهم‌ترین بازدارنده‌های جذب‌شونده شیمیایی است. از عوامل موثر بر عملکرد این نوع از بازدارنده‌ها می‌توان به ساختار شیمیایی، غلظت، میزان درگیری با مولکول‌های آب وغیره اشاره کرد [۱۲].

۲-۱-۱- تاثیر ساختار شیمیایی بازدارنده جذب شونده بر نرخ خوردگی

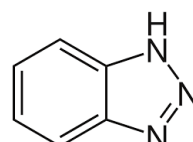
ساختار شیمیایی ترکیب آلی تعیین کننده توانایی الکترون‌دهندگی مولکول، میزان جذب و خاصیت بازدارنده‌گی آن است. خاصیت الکترون‌دهندگی، اندازه و حلالیت مولکول از مهم‌ترین عوامل تعیین کننده ساختار شیمیایی بازدارنده است. تخمین اولیه در رابطه با الکترون‌دهندگی یک مولکول با استفاده از قدرت بازی آن زده می‌شود. بازه‌ای قوی تر الکترون‌دهنده‌ها و بازدارنده‌های قوی‌تری محسوب می‌شوند. قدرت بازی معمولاً توسط ثابت تفکیک اسیدی برای واکنش‌های برگشت‌پذیر تعیین می‌شود. هر چه مقدار pK_a بزرگ‌تر باشد، قدرت بازدارنده‌گی از خوردگی بیشتر است. قدرت بازی بیشتر به معنی تمایل بیشتر به الکترون‌دهندگی و جذب روی سطح است [۱۸-۱۵].

در صورت یکسان بودن تمامی فاکتورها، مولکول‌ها با اندازه‌ی سطح بزرگ‌تر، بازدارنده‌های بهتری هستند. با این حال، در مورد مولکول‌های بسیار بزرگ مثل پلیمرها، ممکن است مشکلات ممانعت فضایی وجود داشته باشد؛ از این‌رو، پوشش کامل سطح توسط مولکول‌های بزرگ معمولاً سخت بدست می‌آید [۴]. معمولاً مولکول‌هایی با حلالیت کمتر در محیط، تمایل بیشتری به جذب‌شدن بر روی سطح دارند. برای یک غلظت ثابت از دو بازدارنده، ترکیب با حلالیت کمتر، ایزوترم جذب طولانی‌تر و پوشش بیشتری روی سطح دارد.

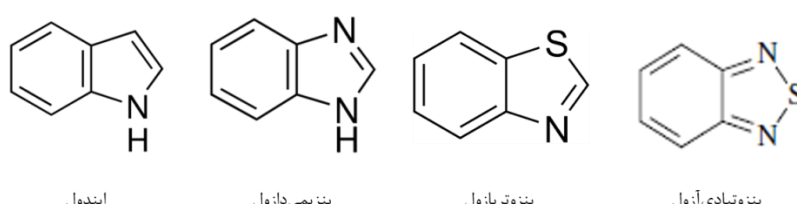
¹ Benzotriazole



شکل ۵- ترتیب افزایش خاصیت بازی و بازدارنده‌گی مولکول‌های مولکول آنیلین، پیریدین و سیکلوهگزیل آمین [۶].



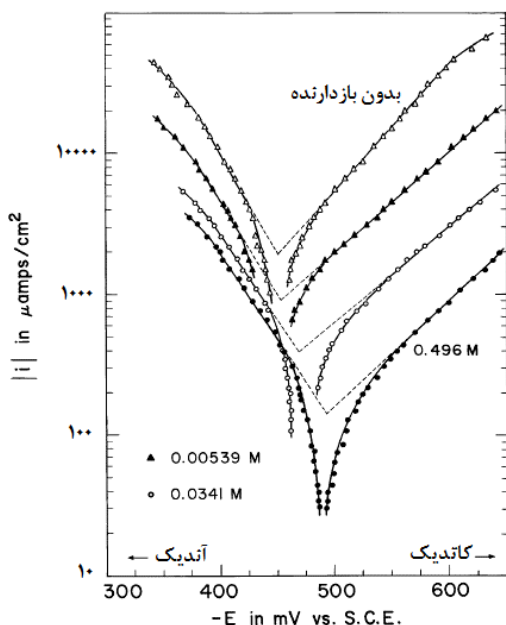
شکل ۶- ساختار شیمیایی بنزوتری‌آزول.



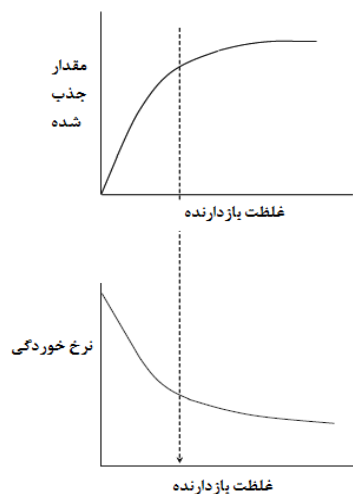
شکل ۶- ساختار شیمیایی بازدارنده خودگی هتروسیکلیک ایندول، بنزیمی‌دازول، بنزوتریازول و بنزوتیادی‌آزول.

مقاله

الکتروشیمیایی مانند اتحال و یا اکسایش فلز را تغییر بدهد [۳۴]. بنزوتریآزول و مشتقاش به طور گسترده برای حفاظت از سطح مس و آلیاژهای فلزی در مقابل خوردگی انسفری استفاده می‌شوند [۳۵-۴۴]. همان‌طور که بیان شد، قدرت بازدارندگی بازدارندۀ‌هایی مانند BTA به قدرت پیوندی که با فلز ایجاد می‌کنند وابسته است و این ترکیبات یک سد دو بعدی^۴ با ضخامتی در مقیاس چند اتم و کمتر از ۵۰ آنگستروم روی سطح فلز ایجاد می‌کنند [۱-۳].



شکل ۷- ارتباط بین غلظت بازدارندۀ‌های جذب‌شونده مانند $NH_2(CH_2)_3NH_2$ در محیط و نرخ خوردگی [۴].



شکل ۱- ارتباط بین ایزوترم جذب بازدارنده بر روی سطح و نرخ خوردگی [۸].
کاتن^۵ و همکارانش در سال ۱۹۹۷ [۳] نشان دادند که محلول‌های آبی و

بر اساس مطالعات انجام شده مشاهده شد که بازده بازدارندگی این ترکیبات در غلظت ۱ مولار در محیط اسیدی به ترتیب زیر تغییر می‌کند: $I > BTA = BNS > BI > BTD$
اما گزارش شده است که BTA در محیط قلایی و خنثی عملکرد خیلی بهتری نسبت به مابقی این ترکیبات دارد؛ ازین‌رو این ترکیب بازدارندۀ‌ای آلی بسیار مهمی در مباحث خوردگی مس و فولاد به شمار می‌شود. به این ترتیب اثبات شده است که در میان ترکیبات آلی، BTA و بنزوتریازول رفتار بازدارندگی بسیار موثری بر روی فولاد نرم و ترکیبات مسی در محلول‌های اسیدی دارند [۱۵].

۲-۲-۲- تأثیر غلظت بازدارندۀ‌جذب شونده بر نرخ خوردگی
همان‌طور که در شکل ۷ گزارش شده است، با افزایش غلظت بازدارندۀ‌های جذب‌شونده مانند $NH_2(CH_2)_3NH_2$ در محیط، چگالی جربان خوردگی کاهش یافته و کارایی بازدارندگی بالا می‌رود. برای این نوع از بازدارندۀ‌ها، بیشینه کسری از سطح که می‌تواند توسط بازدارندۀ به صورت یک تک لایه پوشیده شود، عامل تعیین‌کننده مقدار بازدارندۀ مورد نیاز است. زمانی که مقدار بازدارنده برابر با این کسر سطحی بیشینه باشد، نرخ خوردگی کمترین مقدار خود را خواهد داشت و افزودن بیشتر بازدارنده، موجب کاهش بیشتر نرخ خوردگی نخواهد شد. در شکل ۸ ارتباط بین ایزوترم جذب بازدارنده بر روی سطح و نرخ خوردگی نشان داده شده است [۱۲، ۱۳].

۳- مروری بر مطالعات انجام شده در رابطه با خاصیت بازدارندگی بنزوتریآزول

۱- بررسی خاصیت بازدارندگی بنزوتریآزول بر روی نرخ خوردگی آلیاژهای مسی

فلز مس به اکسیژن موجود در اتمسفر حساس است و در تماس با اکسیژن و دیگر عوامل خورنده شروع به خوردگی می‌کند. خوردگی اتمسفری معمولاً در زیر لایه‌های الکتروولیت نازک^۱ (TEL) و یا لایه‌های الکتروولیت نازک جذب شده^۲ (ATEL) بر روی سطح فلز رخ می‌دهد. زمانی که رطوبت نسبی محیط در حدود ۶۵٪ و ۱۰۰٪ باشد، ضخامت لایه ATEL کمتر از ۱۰ میکرون خواهد بود [۲۷، ۲۸]. روش‌های مختلفی برای ممانعت از خوردگی فلز مس وجود دارد که در میان آنها، موثق‌ترین روش، استفاده از بازدارندۀ‌های فرار خوردگی^۳ (VCI) است [۲۹-۳۲]. مهم‌ترین مزیت VCI‌ها نسبت به روش‌های سنتی، انتقال فاز گازی است که امکان دسترسی به سطح فلز را فراهم می‌کند. فیلم VCI بسیار نازک است به طوری که در زمان مصرف و یا آماده‌سازی مشکلی ایجاد نمی‌کند [۳۳]. به این ترتیب فیلم نازکی که بر روی سطح فلز به شکل فیزیکی و یا شیمیایی جذب می‌شود، ممکن است سرعت واکنش‌های

⁴ Two-dimensional barriers

⁵ Cotton

¹ Thin electrolyte layers

² Adsorbed thin electrolyte layers

³ Volatile corrosion inhibitor (VCI)

همچنین در مطالعه‌ای که در سال ۲۰۰۹ توسط آنتونی جویک^۶ و همکارانش [۱۰] انجام شد، تاثیر pH بر روی رفتار خوردگی مس در حضور بازدارنده BTA بررسی شد و بیان گردید که اعمال بازدارنده BTA در غلظت‌های بهینه در تمامی H₂Oها تاثیر چشم‌گیری در کاهش نرخ خوردگی داشته است. فرآیندهای جذب و واکنش‌های خوردگی در زیر لایه فیلم BTA جذب شده بر روی سطح فلز توسط چن^۷ و همکارانش در سال ۲۰۱۲ با استفاده از میکروسکوپ نیروی اتمی^۸، میکروسکوپ روبش الکترونی^۹، ATR FTIR^{۱۰} و طیفسنجی فوتوالکترونی پرتو ایکس^{۱۱} بررسی شد [۸]. همان‌طور که در شکل ۱۰ نشان داده شده‌است، نتایج داده‌های حاصل از آزمون‌های الکتروشیمیایی بیانگر آن هستند که BTA سرعت واکنش‌های خوردگی آندی را کاهش می‌دهد و از انجام واکنش خوردگی در زیر لایه ایجاد شده توسط بازدارنده، ممانعت به عمل می‌آورد. این اثر بازدارنده‌گی وابسته به تعاملات بسیار سریع مس و لایه محافظتی تشکیل شده می‌باشد که در نهایت یک کمپلکس پایدار از بازدارنده، بر روی سطح مس تشکیل می‌شود.

⁴ Antonijevic

⁵ Chen

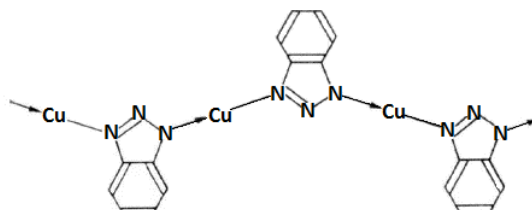
⁶ Atomic force microscopy (AFM)

⁷ Scanning electron microscopy (SEM)

⁸ Attenuated total reflectance Fourier-transform infrared (ATR-FTIR)

⁹ X-ray photoelectron spectroscopy

خنثی نمک‌های مس^۱ و ترکیبات مسی در مواجهه با BTA، کمپلکس‌های بنزوتری‌آزول را تولید می‌کنند که در آب و بسیاری از حللاهای آلی دیگر نامحلول هستند و رسوب کرده و حتی این رسوبات در دماهای بسیار بالاتا ۲۵۰ درجه سانتی‌گراد پایدار هستند. زمانی که سطح مس و آلیازهای مسی در مقابل محلول و یا بخار BTA قرار می‌گیرند، به سختی به سطح مس پیوند می‌خورد؛ به‌گونه‌ای که با شستن توسط آب و یا دیگر حللاهای، جدایش آنها ممکن نیست. داده‌های حاصل از طیفسنجی زیر قرمز^{۱۲} نشان می‌دهند که در اثر واکنش BTA و مس زنجیره‌های پلیمری خطی متناوبی از این دو مولکول به وجود می‌آیند (شکل ۹). این ساختار پلیمری در اثر ایجاد پیوند کواواسی با یک اتم نیتروژن موجود در ساختار BTA که هیدروژن خود را از دست داده و ایجاد کوردنیاسیون^{۱۳} با جفت الکترون تنها نیتروژن مولکول BTA دیگر به دست می‌آید. درصورتی که فیلم یکنواخت و مستحکمی از این پلیمر بر روی مس و آلیازهای مسی به وجود بیاید، حفاظت کامل و مناسبی را برای مس ایجاد خواهد کرد. اما به دلیل حضور لایه‌های اکسیدی مس بر روی فلز مس، تحقق این امر به طور کامل ممکن نیست و امکان تشکیل پیوند بین BTA و مس، تنها در نقاطی که لایه اکسیدی ضعیف است، وجود خواهد داشت.

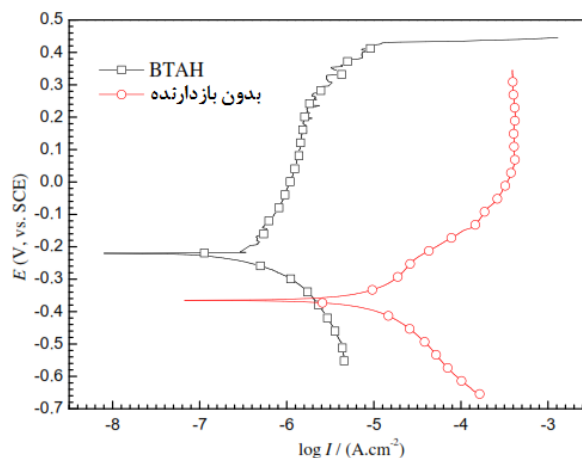


شکل ۹- ساختار شیمیایی زنجیره‌های پلیمری بنزوتری‌آزول-مس /۳/.

¹ Cupric salts

² Infra-red spectroscopic

³ Coordination

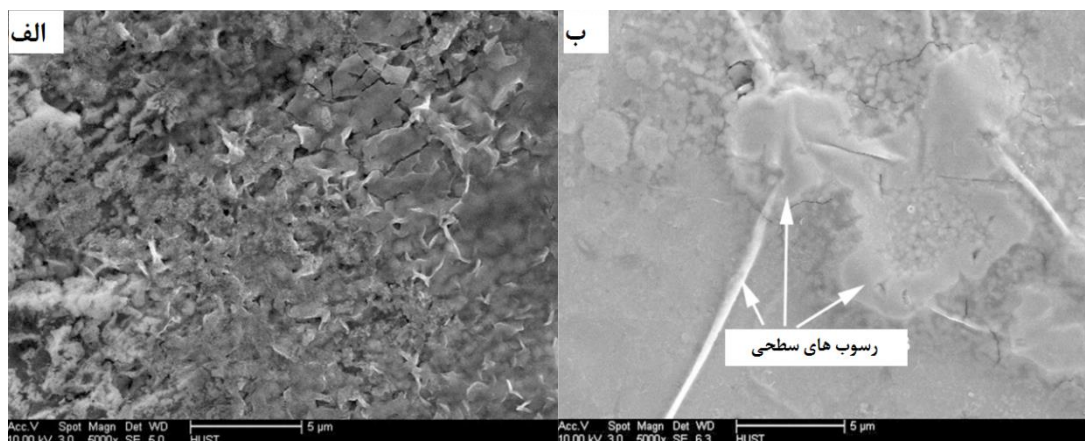


شکل ۱۰- منحنی پلاریزاسیون پتانسیو/ینامیک مس در ناحیه‌ی زیر لایه بازدارنده تشکیل شده در زمان حضور و عدم حضور بازدارنده BTA در رطوبت نسبی ۹۰٪ و دمای ۵۰°C /۱۴/.

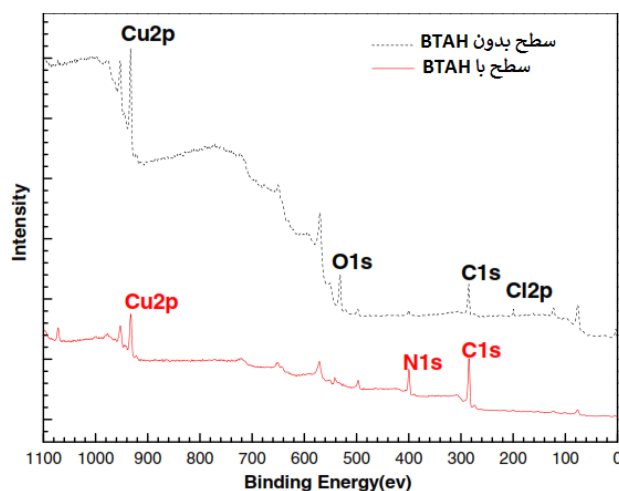
مقاله

مونولایه^۱ پلیمری بسیار مستحکمی را در ناحیه‌ی خوردگی نشده تشکیل می‌دهد. همچنین BTA می‌تواند با Cu(I) یک لایه پلیمری و ضخیمی را تشکیل دهد؛ از این‌رو لایه CuO یک زمینه‌ی بسیار مهمی برای تشکیل کمپلکس [Cu(I)BTA] است.^[۸]

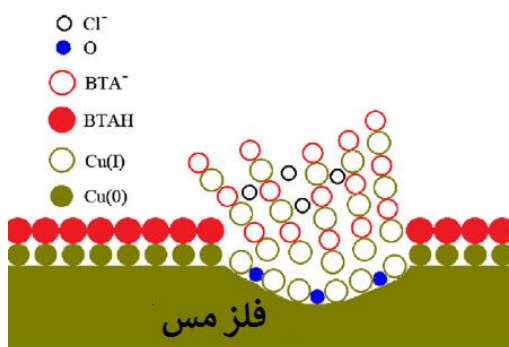
^۱ Monolayer



شکل ۱۱- تصویر SEM فلز مس در محیط خورنده کلردار (الف) در غیاب و (ب) در حضور BTA در رطوبت نسبی ۹۰٪ و دمای ۵۰°C.^[۸]



شکل ۱۲- طیف سنجی XRD بر روی سطح فلز مس در محیط خورنده کلردار در غیاب و در حضور BTA در رطوبت نسبی ۹۰٪ و دمای ۵۰°C.^[۸]



شکل ۱۳- مدل جذب BTA بر روی سطح فلز مس در محیط خورنده در حضور یون کلر و BTA در رطوبت نسبی ۹۰٪.^[۸]

بازدارنده‌ی آندی مهمی در بتن‌های مسلح با فولاد^۶ هستند، خواهند بود. به طور کلی ترکیبات نیتراتی به عنوان بازدارنده‌های آندی موثر برای فولاد نرم و زنگ‌زن استفاده می‌شوند؛ اما برای استفاده از آنها محدودیت‌های زیادی از جمله محدودیت‌های زیست محیطی به دلیل سمی‌بودن، سازوکار بازدارنده‌ی از خوردگی، تمایل به کاهش خواص مکانیکی، خطرات ناشی از مقدار نادرست اعمال بازدارنده و قیمت بالا وجود دارد؛ از این‌رو یافتن جایگزینی برای آنها حائز اهمیت است.

همان‌طور که در شکل‌های ۱۵ و ۱۶ نشان داده شده‌است، با افزایش زمان غوطه‌وری فولاد در محلول BTA، مقاومت به خوردگی افزایش می‌یابد؛ چراکه با افزایش زمان غوطه‌وری چگالی جریان خوردگی افزایش پیدا کرده است (شکل ۱۵) و همچنین شعاع نمودار نایکوپیست بعد از ۳۰ روز غوطه‌وری نسبت به روز اول، افزایش چشمگیری داشته است (شکل ۱۶).

⁶ Steel reinforcement concrete

۳-۲- بررسی خاصیت بازدارنده‌ی بنزوتری آزول بر روی نرخ خوردگی فولاد در محیط قلیایی

خوردگی فولاد (CA-50) در دو محلول حاوی بازدارنده‌ی BTA و نیتریت^۱ با استفاده از روش EIS و پتانسیوداینامیک پلاریزاسیون توسط منوکسی^۲ و همکارانش در سال ۲۰۰۹ [۲] بررسی شد. نتایج حاصل از نمودار نایکوپیست^۳ و زاویه‌ی فازی^۴ در شکل ۱۴ نشان دادند که افزودن ۱/۵٪ وزنی BTA به محلول حاوی کفر با pH بازی که شبیه‌ساز محیط قلیایی در داخل حفرات^۵ بتن است، تاثیر بسیار بیشتری نسبت به افزودن ۱/۵٪ وزنی نیتریت به همان محلول در کاهش نرخ خوردگی فولاد کربنی دارد؛ ازین‌رو جایگزین بسیار مناسبی برای نیتریت که

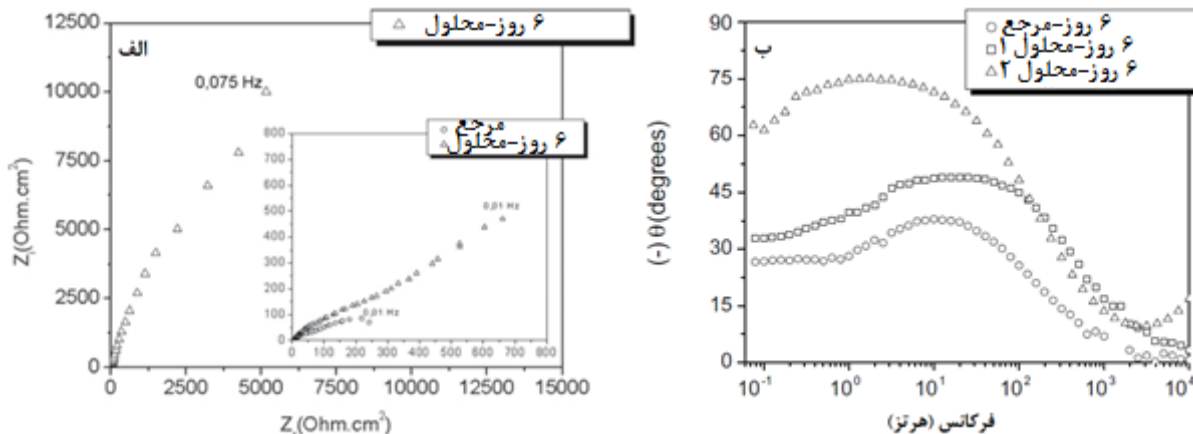
¹ Nitrite

² Mennucci

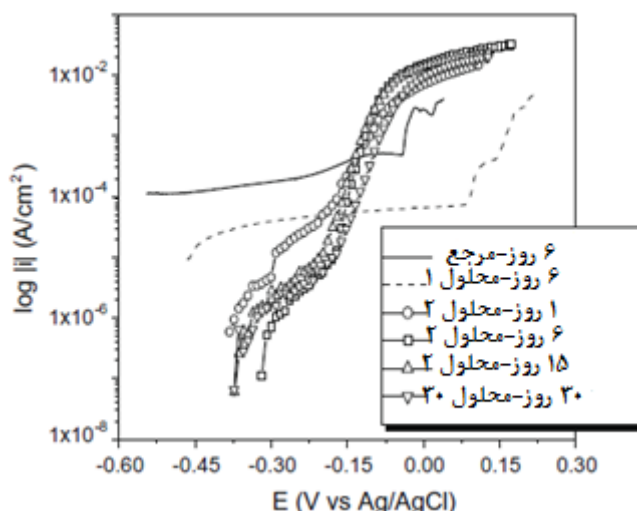
³ Nyquist

⁴ Bode phase angle

⁵ Simulated pore solution

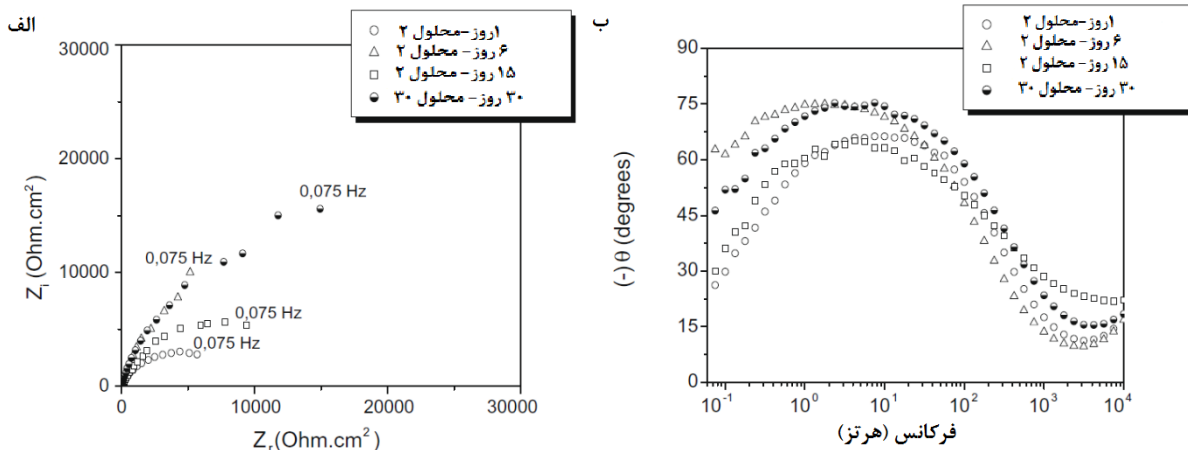


شکل ۱۴- (الف) نمودار نایکوپیست و (ب) زاویه‌ی فازی باد فولاد CA-50 غوطه‌ور در محلول نیتریت (I) و بنزوتری آزول (II) در مدت ۶ روز [۲].



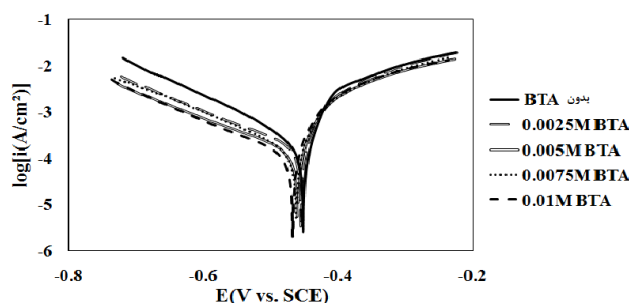
شکل ۱۵- منحنی‌های پلاریزاسیون حاصل از غوطه‌وری فولاد CA-50 در محلول BTA در مدت زمان‌های مختلف [۲].

مقاله

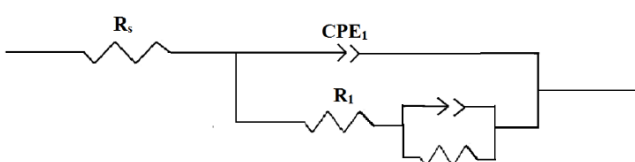


شکل ۱۶- (الف) نمودار نایکوپیست و (ب) زاویه‌ی فازی باد فولاد CA-50 در محلول BTA غوطه‌ور در محلول مدت زمان‌های مختلف /۲/.

مورد استفاده قرار دادند که در آن R_s مقاومت محلول، R_1 مقاومت لایه دوگانه‌ی الکتریکی^۷ و CPE1 عنصر ثابت فازی^۸ را نشان می‌دهد. سعدقرار^۹ و همکارانش و همچنین فنگ^{۱۰} و همکارانش [۱۳-۱۵] گزارش کردند که اندازه‌ی نیم‌دایره موجود در نمودار نایکوپیست نشان‌دهنده بهبود جذب بازدارنده خوردگی، ساختار مناسب فیلم حاصل از جذب و کاهش نرخ خوردگی است.



شکل ۱۷- منحنی پلاریزاسیون فولاد نرم در محلول ۰/۰ مولار H_2SO_4 و BTA در محدوده پتانسیل ۲۵۰-تا ۲۵۰ میلی‌ولت در مقایسه با OCP /۹/.



شکل ۱۸- مدار معادل برای به دست آوردن داده‌های امپدانس فولاد نرم در محلول ۰/۰ مولار H_2SO_4 و در حضور غلظت‌های گوناگون بنزووتریآزول /۹/.

این افزایش مقاومت در برابر خوردگی ناشی از تشکیل لایه کمپلکس از $Fe_n(Cl)_p(BTA)_m$ است که بر روی سطح فولاد غوطه‌ور در محلول BTA به وجود می‌آید و به عنوان مانع در برابر عوامل مهاجم که قصد هجوم به سطح فلز را دارند، خواهد بود.

۳-۳- بررسی خاصیت بازدارندگی بنزووتریآزول بر روی نرخ خوردگی فولاد در محیط اسیدی

گومو^۱ و همکارانش [۱۲] تاثیر بازدارندگی از خوردگی فولاد نرم در محلول اسیدی یک مolar را با استفاده از BTA، پتانسیل خوردگی و مقاومت پلاریزاسیون^۲ که با افزایش غلظت A, BTA، پتانسیل خوردگی و مقاومت پلاریزاسیون^۳ افزایش و جریان بحرانی^۴ و نرخ خوردگی کاهش پیدا کردند. در مطالعه‌ای که توسط امینی و همکارانش در سال ۲۰۱۷ انجام شد [۹]، مشاهده شد که جذب BTA بر روی سطح فولاد نرم از ایزوترم لانگمیر^۴ پیروی می‌کند. آنها تاثیر استفاده از بازدارنده‌ی BTA بر رفتار خوردگی فولاد نرم در دو حالت زبر و صاف را در محیط خورنده‌ی ۰/۰ مولار H_2SO_4 بررسی کردند. شکل ۱۷ منحنی پلاریزاسیون فولاد نرم در محلول ۰/۰ مولار H_2SO_4 در محدوده پتانسیل ۲۵۰-تا ۲۵۰ میلی‌ولت که در مقایسه با OCP گرفته شده است را نشان می‌دهد. پتانسیل نسبت به الکترود مرجع کالومل^۵ در دمای ۲۵ درجه سانتی‌گراد اندازه‌گیری شده است. همان‌طور که در شکل ۱۷ مشخص است، با افزایش غلظت BTA چگالی جریان خوردگی، هم در شاخه‌ی آندی و هم کاتدی کاهش می‌باشد؛ از این‌رو بازدارنده‌ی خوردگی به عنوان بازدارنده‌ی مخلوط در محیط اسیدی برای فولاد عمل می‌کند. مدار معادل نشان داده شده در شکل ۱۸ را برای فیت کردن داده‌های حاصل از EIS و استخراج اطلاعات

⁷ Electrical double layer (EDL) resistance

⁸ Constant phase element

⁹ Saad Ghareba

¹⁰ Feng

¹ Gomo

² Polarization resistance

³ Critical current

⁴ Langmuir isotherm

⁵ Calomel reference electrode

⁶ Equivalent circuit

نمونه‌های است. بر اساس مطالعاتی که توسط EIS و پلاریزاسیون پتانسیودینامیک^۳ صورت گرفت، سطوح زبر در محلول ۰/۰۱ مولار BTA بالاترین مقاومت را از خود نشان دادند. همان‌طور که در شکل ۲۱ نشان داده شده است، زبرکردن سطوح باعث افزایش سطح واقعی، افزایش جذب بیشتر مولکول‌های BTA و استحکام بیشتر نیروهای واندروالس^۴ بین سطح می‌شود. به طور کلی زبرکردن سطوح باعث افزایش تمایل مولکول‌های بازدارنده به جذب بر روی سطوح فلز می‌شود و پارامتر پوشش‌دهی سطح^۵ در این سطوح از ۰/۴۶ به ۰/۵۳ می‌رسد. همچنین در شکل ۲۲ تصویر SEM سطح فولاد زبر و صاف، سطح فولاد زبر و صاف بعد از غوطه‌وری در محلول خورنده اسیدی بدون بازدارنده BTA و سطح فولاد زبر و صاف بعد از غوطه‌وری در محلول خورنده اسیدی به همراه بازدارنده BTA نشان داده شده است.

^۳ Potentiodynamic polarization

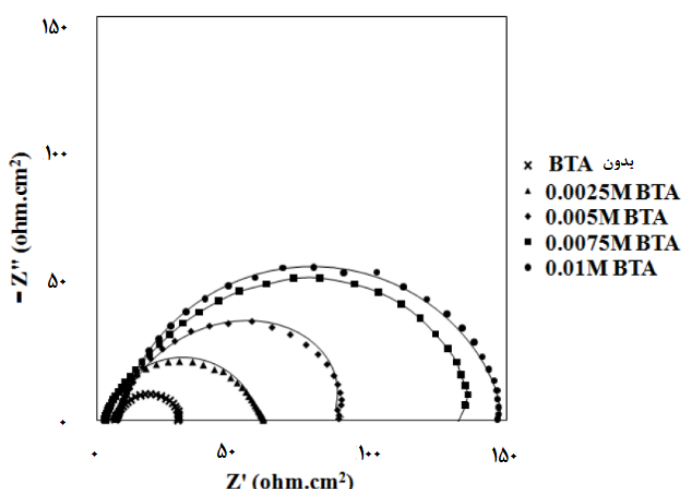
^۴ Van der waals bonds

^۵ Surface coverage

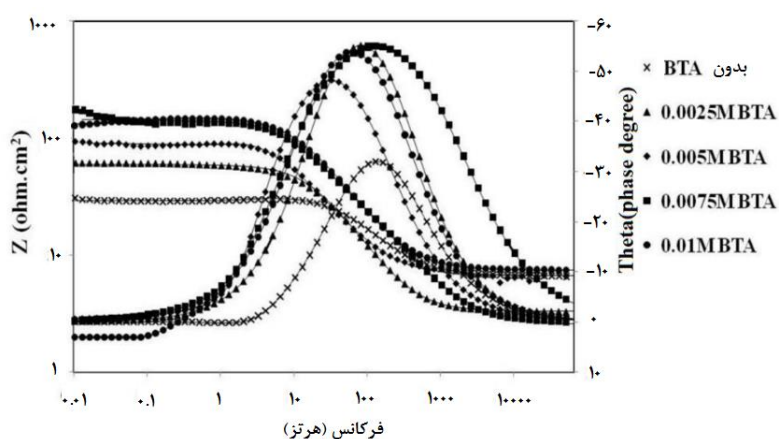
شکل ۱۹ نشان می‌دهد که با افزایش غلظت بازدارنده‌های خوردگی BTA شعاع نیم دایره‌ها بزرگ‌تر می‌شود و از یک غلظت بیشینه‌ای به بعد، این شعاع ثابت می‌ماند. همچنین این تصویر نشان می‌دهد که شعاع نیم دایره و یا مقاومت برای سطح زبر در ابتدا که غلظت کم است، بسیار پایین است، اما در غلظت‌های بالا، این مقاومت برای سطوح زبر و صاف یکسان است. به عبارتی بازدارنده‌ها برای سطوح زبر تنها در غلظت‌های بسیار بالا مناسب هستند؛ چراکه در غلظت‌های پایین از بازدارنده، حفرات سطح زبر مقدار بازدارنده کافی ندارند و سطح به دلیل داشتن سایت‌های فعال^۱ برای حمله عوامل خورنده و شدت پیدا کردن واکنش‌های خوردگی کاملاً محیاست. شکل ۲۰ نمودارهای باد و باد-فازی برای سطوح زبر و صاف فولاد نرم غوطه‌وری در محلول ۰/۵ مولار H₂SO₄ و حاوی غلظت‌های مختلف BTA را نشان می‌دهد. همان‌طور که مشخص است، منحنی‌های فازی باد تنها یک پیک دارند که نشان‌دهنده‌ی تک ثابت زمانی^۲ بودن

^۱ Active sites

^۲ Single time constant

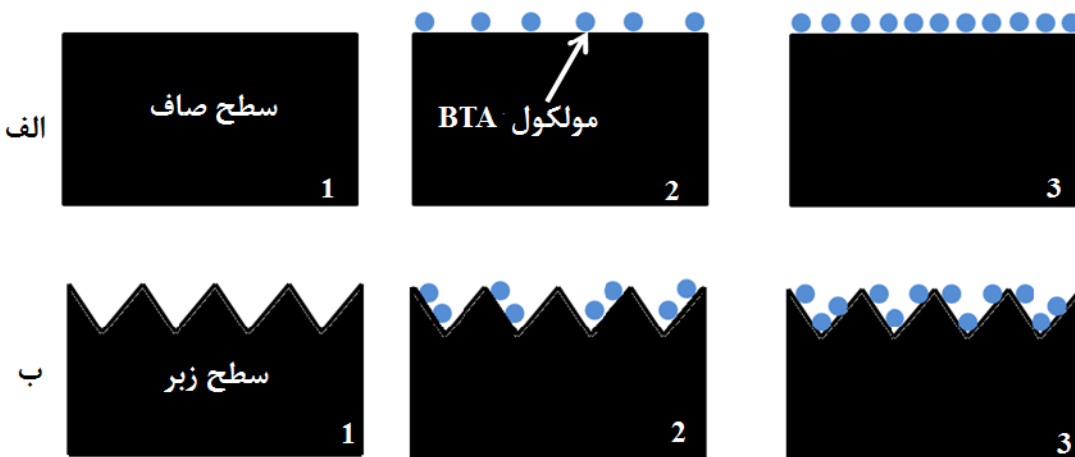


شکل ۱۹ - نمودار نایکوبیست نمونه‌های فولاد نرم به محض غوطه‌وری در محلول ۰/۵ مولار H₂SO₄ و در حضور غلظت‌های گوناگون [۹]/BTA.

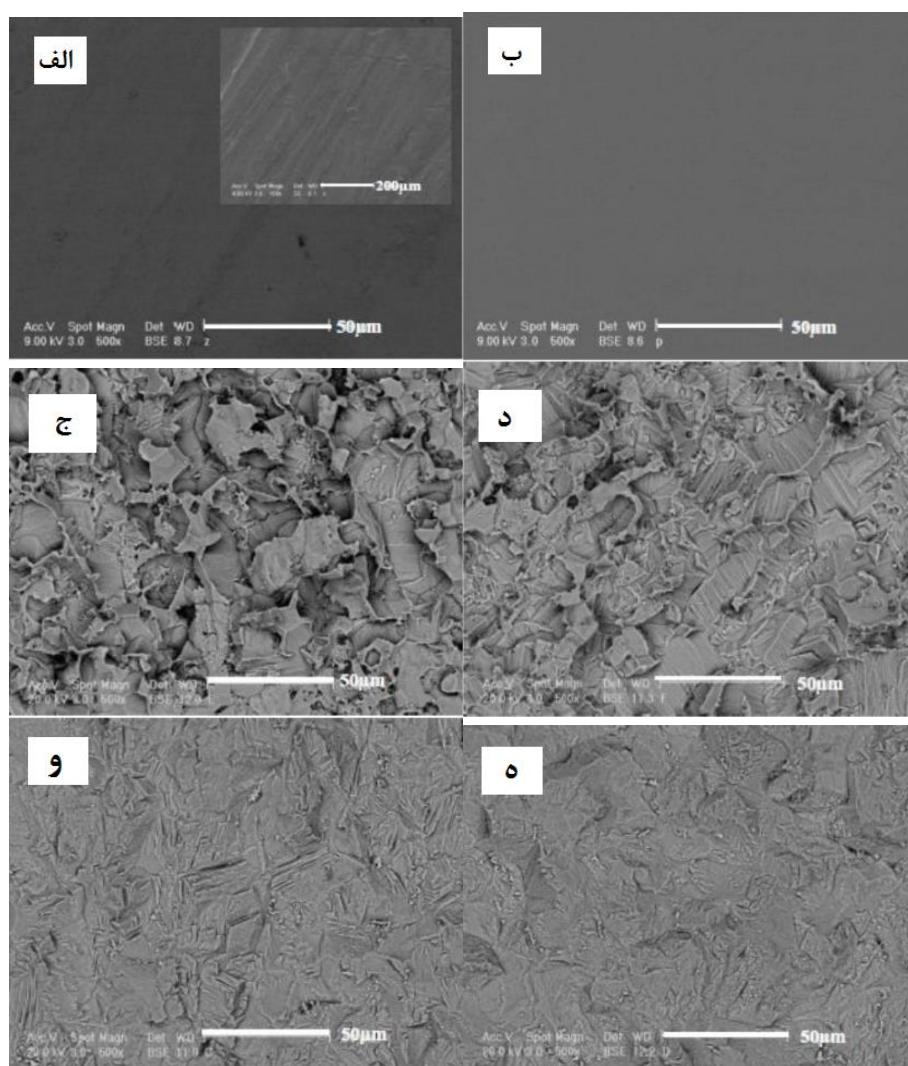


شکل ۲۰ - نمودارهای باد و باد-فازی برای سطوح زبر و صاف فولاد نرم غوطه‌وری در محلول ۰/۵ مولار H₂SO₄ و حاوی غلظت‌های مختلف BTA [۹]/BTA

مقاله



شکل ۲۱- تصویر شماتیک از جذب مولکول‌های بازدارنده بر روی سطح (الف) صاف و (ب) زبر [۹].



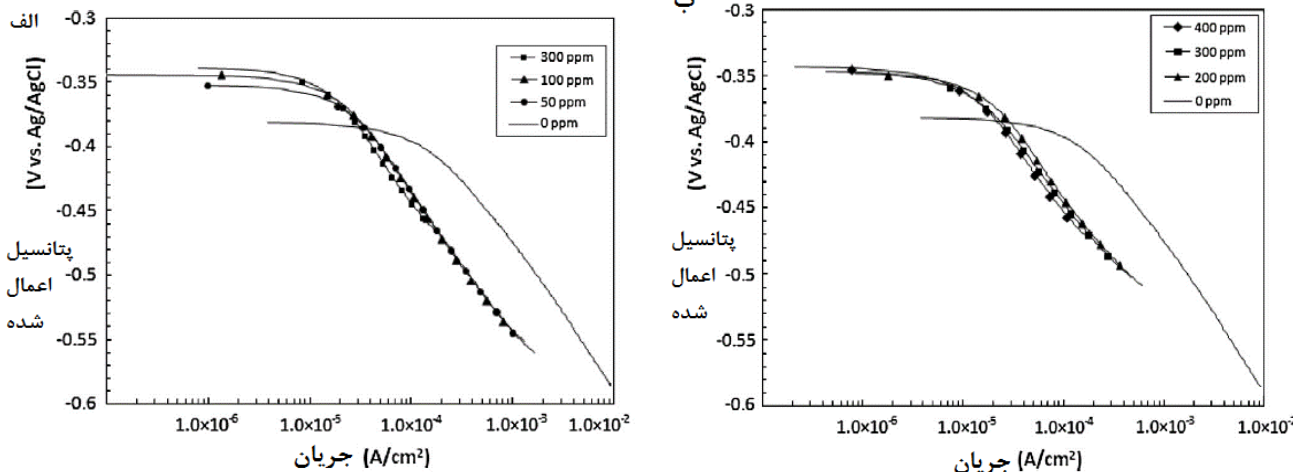
شکل ۲۲- تصویر SEM (الف) سطح فولاد زبر، (ب) سطح فولاد صاف، (ج) سطح فولاد زبر بعد از غوطه‌وری در محلول خورنده‌ی اسیدی بدون بازدارنده‌ی BTA، (د) سطح فولاد صاف بعد از غوطه‌وری در محلول خورنده‌ی اسیدی بدون بازدارنده‌ی BTA، (ه) سطح فولاد زبر بعد از غوطه‌وری در محلول خورنده‌ی اسیدی با بازدارنده‌ی BTA و (و) سطح فولاد صاف بعد از غوطه‌وری در محلول خورنده‌ی اسیدی با بازدارنده‌ی BTA [۹].

سیر تکاملی هیدروژن^۴ مرتبط باشد. برخلاف پلاریزاسیون کاتدی، شبیت تافل شاخه‌های آندی در حضور این دو بازدارنده تغییر زیادی دارد که نمایانگر تشکیل فیلم حفاظتی بر روی مناطق آندی است که این بازدارنده‌ها در واکنش‌های آندی مداخله ایجاد می‌کنند. علاوه بر آن تغییر پتانسیل خودگی به سمت مقادیر نوبل^۵ نشان‌دهنده غالب‌بودن سازوکار بازدارنده‌گی آندی این دو بازدارنده در محیط اسیدی است. این معنی است که بلوکه‌سازی نواحی آندی و واکنش‌های آندی تحت تاثیر غلظت بازدارنده‌ها هستند. با افزایش بیشتر غلظت بازدارنده‌ها، پتانسیل خودگی به مقادیر نوبل تری منتقل می‌شود [۴۵].

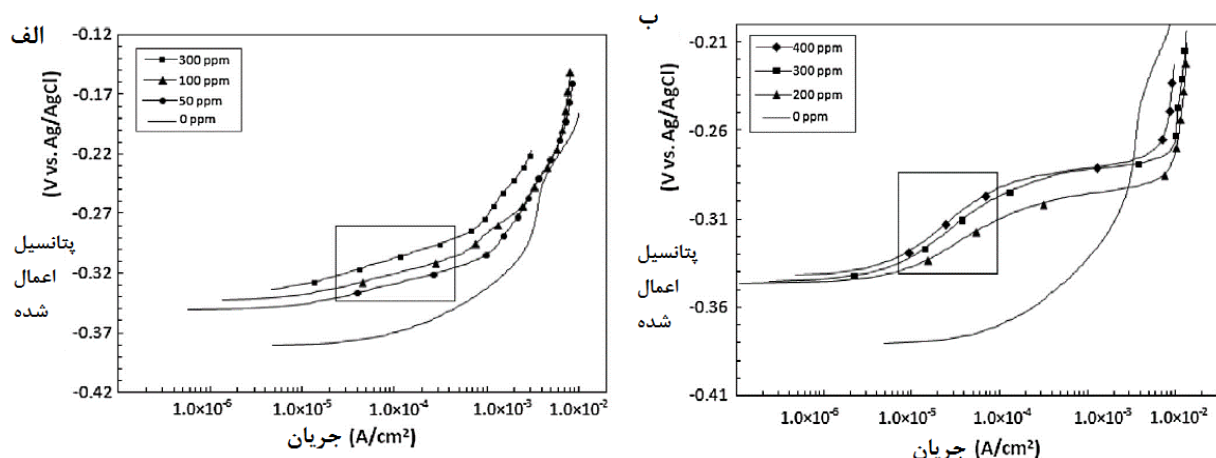
⁴ Hydrogen evolution mechanism

⁵ Noble

در مطالعه‌ای که در سال ۲۰۱۳ توسط مارخالی^۱ [۴] انجام شد، رفتار خوردگی فولاد زنگ‌زن در محلول اسید هیدروکلریک یک مولار که حاوی بازدارنده‌های BTA و بنزوتیازول^۲ بودند با استفاده از روش‌های الکتروشیمیایی و SEM بررسی شد. شکل ۲۳ و ۲۴ به ترتیب شاخه‌های کاتدی و آندی منحنی‌های پلاریزاسیون فولاد زنگ‌زن غوطه‌ور در محلول یک مولار HCl حاوی غلظت‌های مختلف BTA و بنزوتیازول را نشان می‌دهد و همان‌طور که مشخص است، چگالی جریان در حضور بازدارنده‌ها در محیط اسیدی کاهش پیدا کرده است. تاثیر اعمال بازدارنده‌ها در تغییر شیب تافل^۳ شاخه‌های کاتدی بسیار ناچیز است و افت چگالی جریان کاتدی می‌تواند به بلوکه‌شدن سایت‌های کاتدی بدون هیچ اثری بر روی



شکل ۲۳- شاخه‌های کاتدی منحنی پلاریزاسیون ورقه‌های فولاد زنگ‌زن بعد از ۴ ساعت غوطه‌وری در محلول حاوی یک مولار HCl و در حضور بازدارنده‌ی (الف) BTA و (ب) بنزوتیازول [۴].



شکل ۲۴- شاخه‌های آندی منحنی پلاریزاسیون ورقه‌های فولاد زنگ‌زن بعد از ۴ ساعت غوطه‌وری در محلول حاوی یک مولار HCl و در حضور بازدارنده‌ی (الف) BTA و (ب) بنزوتیازول [۴].

مقاله

استفاده از پلاریزاسیون پتانسیویدینامیک^۷ و امپدانس AC بررسی شد. مطالعات این فرید نیز نشان داد که این بازدارنده‌ها جزء بازدارنده‌های مخلوط هستند. در میان این ترکیبات، HBTA بهترین عملکرد را در محیط اسیدی از خود نشان داد. زمانی که غلظت بنزووتری آزول زیاد می‌شود، R_{ct} افزایش می‌یابد اما ظرفیت لایه دوگانه (C_{dl}) کاهش می‌یابد که کاهش این مقدار نمایانگر جذب بنزووتری آزول بر روی سطح و افزایش ضخامت لایه دوگانه الکتریکی است. تغییر در مقادیر R_{ct} و C_{dl} با جابه‌جایی تدریجی مولکول‌های آب با آئیون‌های اسیدی و جذب مولکول‌های آلی بر روی سطح فلز انجام می‌شود. تصاویر ۲۶ و ۲۷ نمودارهای نایکوییست فولاد نرم را به ترتیب در $0.5\text{ M H}_2\text{SO}_4$ مولار در غیاب و در حضور بیشینه مقدار مشتقان بنزووتری آزول بعد از ۱۰ و ۲۰ ساعت را نشان می‌دهد [۴۶].

تأثیر بازدارندگی دو بازدارنده‌ی ۲-آمینو تیوفنول^۸ (ATP) و ۲-سیانومتیل بنزووتریازول^۹ (CNMBT) بر روی دو نوع استیل در محیط یک مولار اسیدهیدروکلریک در دمای‌های مختلف شامل ۲۵، ۳۰، ۳۵ و ۴۰ و ۵۰ توسط ایننسو^{۱۰} و همکارانش در سال ۲۰۰۰ بررسی شد. آنها رفتار خوردگی حفره‌ای این سامانه‌ها را با استفاده از روش پتانسیویدینامیک و پلاریزاسیون گالوانوستاتیک^{۱۱} مطالعه کردند. مشاهده شد که مقاومت به خوردگی حفره‌ای در استیل با افزایش مقدار ATP و CNMBT افزایش می‌یابد. بازدهی بازدارندگی با افزایش غلظت افزایش می‌یابد، اما با افزایش CNMBT بالاتر از ATP است، ازین‌رو مزیت بنزووتری آزول نسبت به بازدارنده‌های دیگر باز هم تایید شد [۴۷].

⁷ Potentiodynamic polarization

⁸ 2-amino thiophenol (ATP)

⁹ 2-cyanomethyl benzothiazole

¹⁰ Ebenso

¹¹ Galvanostatic polarization

شکل ۲۵ نمودار نایکوییست فولاد زنگنزن غوطه‌ورشده در محلول حاوی یک مولار HCl و در حضور غلظت‌های مختلف و عدم حضور بازدارنده‌ی اف) BTA و ب) بنزووتریازول را نشان می‌دهد. همان‌طور که تصاویر نشان می‌دهند، تمامی نمودارها حاوی یک نیم‌دایره‌ی کشیده^۱ هستند که این حلقوی خازنی می‌تواند به واکنش‌های انتقال بار و لایه دوگانه الکتریکی تشکیل شده بر روی سطح فلز ارتباط داشته باشد. این انحراف از نیم دایره‌ی کامل می‌تواند به زبری و غیرینکواخت بودن سطح ارتباط‌داده شود. در صورتی که سطح کاملاً صاف و ایده‌آل باشد و یا ناخالصی بر روی آن وجود نداشته باشد، سطح رفتار خازن ایده‌آل را خواهد داشت، اما در صورتی که جذب ذرات بر روی آن نایکواخت باشد و یا زبری آن بالا باشد، به دلیل آنکه سطح و لایه‌های جذب شده بر روی آن دیگر یک خازن ایده‌آل را تشکیل نمی‌دهند، نمودار نایکوییست دیگر یک نیم دایره‌ی کامل نخواهد بود [۱۸-۲۰]. همان‌طور که شکل ۲۵ نشان می‌دهد، افزایش غلظت BTA، شعاع نیم‌دایره‌ها را به اندازه‌ی بنزووتریازول تغییر نمی‌دهد که این به معنی حساسیت پایین‌تر BTA به غلظت در مقابل بنزووتریازول است. با توجه به شعاع بنزووتریازول که از BTA بیشتر است، در یک غلظت یکسان مقاومت به خوردگی بالاتری در مشتقان بنزووتری آزول با نام‌های ان-(۱)-(بنزووتری آزولو-۱-ایل) الکلیل (BTMA)، ان-(۱)-(بنزووتری آزولو-۱-ایل) آریل آمین^{۱۲} (BTBA) و ۱-هیدروکسی متیل بنزووتری آزول^{۱۳} (HBTA) توسط مورالیدهاران^{۱۴} در سال ۱۹۹۵ سنتز شدند و رفتار بازدارندگی از خوردگی آنها بر روی فولاد نرم در غلظت ۰.۵ M H_2SO_4 در دمای اتاق با

¹ Depressed semicircles

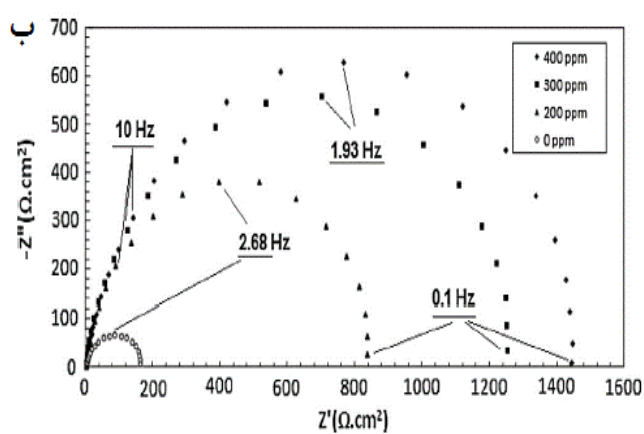
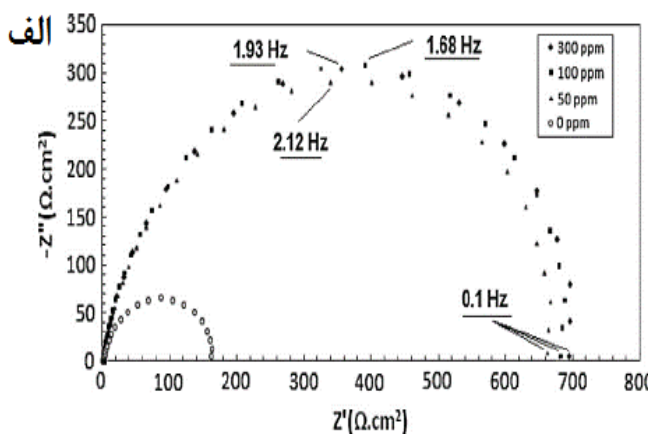
² N-[1-(benzotriazolo-1-yl)alkyl] aryl amine (BTMA)

³ N-[1-(benzotriazolo-1-yl)aryl] aryl amine (BTBA)

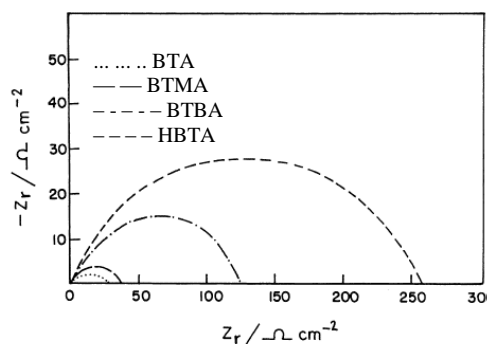
⁴ 1-hydroxy methyl benzotriazole (HBTA)

⁵ Muralidharan

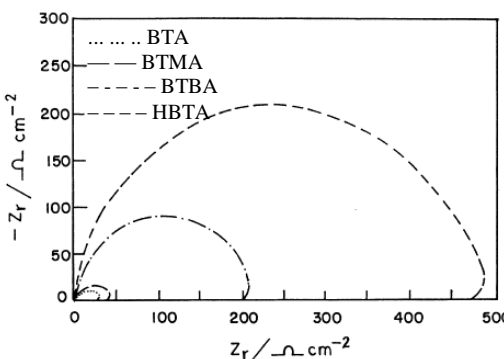
⁶ Mild steel



شکل ۲۵- نمودار نایکوییست فولاد زنگنزن غوطه‌ورشده در محلول حاوی یک مولار HCl و در حضور غلظت‌های مختلف و عدم حضور بازدارنده‌ی اف) BTA و ب) بنزووتریازول [۴].



شکل ۲۶- نمودار نایکوبیست استیل نرم در $0.5\text{ M H}_2\text{SO}_4$ مولار در غیاب و در حضور بیشینه مقدار مشتقات بنزوتری آزول بعد از ۱۰ ساعت [۷].



شکل ۲۷- نمودار نایکوبیست استیل نرم در $0.5\text{ M H}_2\text{SO}_4$ مولار در غیاب و در حضور بیشینه مقدار مشتقات بنزوتری آزول بعد از ۲۰ ساعت [۷].

بازدارنده‌ی مختلط و در محیط‌های بازی رفتار بازدارنده‌ی آندی را ز خود نشان داد. افزایش غلظت این ترکیب در محیط تا مقداری بهینه 0.075 M مولار در محلول اسید سولفوریک و 50 ppm در محلول اسیدی، موجب کاهش چگالی جریان خوردگی و افزایش بازده بازدارنده‌ی آندی را حدود 20% درصد شد و افزایش بیش از حد آن، تاثیری در کاهش نرخ خوردگی نداشت. وجود هرگونه ناخالصی در محیط خورنده، با توجه به ایجاد رقابت بین مولکول‌های بنزوتری آزول و ناخالصی بر سر جذب در مناطق فعال فلز، تاثیرات چشمگیری در عملکرد بازدارنده‌ی آن داشت.

۴- نتیجه‌گیری

در این مقاله مروی، خلاصه‌ای از مطالعات صورت گرفته بر روی رفتار بازدارنده‌ی بنزوتری آزول از خوردگی فلزاتی مانند مس و فولاد در محیط‌های اسیدی (حاصل از اسید هیدروکلریک و اسید سولفوریک)، بازی و خنثی گزارش شد. مطالعات نشان دادند که این ترکیب به دلیل داشتن توانایی در تشکیل کمپلکس‌های فلزی و رسوبات نامحلول تکلایه بر روی سطح فلز (در مقیاس مولکولی و کمتر از 50 Å آنگستروم)، خاصیت بازدارنده‌ی بسیار بالایی در تمامی محیط‌ها دارد. این ترکیب در محیط‌های قلیایی رفتار

1. S. Saji Viswanathan, "A review on recent patents in corrosion inhibitors", *Corros. Sci.* 2, 6-12, **2010**.
2. M. M. Mennucci, E. P. Banczek, P. R. P. Rodrigues, I. Costa, "Evaluation of benzotriazole as corrosion inhibitor for carbon steel in simulated pore solution", *Cem. Concr. Compos.* 31, 418-424, **2009**.
3. J. B. Cotton, I. R. Scholes, "Benzotriazole and related" compounds as corrosion inhibitors for copper", *Brit. Corros. J.* 2, 1-5, **1967**.
4. B. P. Markhalia, R. Naderi, M. Mahdavian, M. Sayebani, S. Y. Arman, "Electrochemical impedance spectroscopy and electrochemical noise measurements as tools to evaluate corrosion inhibition of azole compounds on stainless steel in acidic media", *corros. Sci.* 75, 269-279, **2013**.
5. م. داوودی، ا. قاسمی، ب. رمضانزاده، م. مهدویان احمدی، "مروی بر ترکیبات آنلی-معدنی حاوی بازدارنده‌های خوردگی: بررسی روش‌های ساخت و سازوکار حفاظت"، نشریه علمی ترویجی مطالعات در دنیای رنگ، ۸، ۲۵-۳۸، ۱۳۹۷.
6. A. Popova, M. Christov, "Evaluation of impedance measurements on mild steel corrosion in acid media in the presence of

7. S. T. Selvi, V. Raman, N. Rajendran, "Corrosion inhibition of mild steel by benzotriazole derivatives in acidic medium", *J. Appl. Electrochem.* 33, 1175-1182, **2003**.
8. Zh. Chen, L. Huang, G. Zhang, Y. Qiu, X. Guo, "Benzotriazole as a volatile corrosion inhibitor during the early stage of copper corrosion under adsorbed thin electrolyte layers", *Corr. Sci.* 65, 214-222, **2012**.
9. M. Amini, M. Aliofkazraei, A. H. Navidi Kashani, A. Sabour Rouhaghdam, "Mild steel corrosion inhibition by benzotriazole in 0.5 M sulfuric acid solution on rough and smooth surfaces", *Int. J. Electrochem. Sci.* 12, 8708 – 8732, **2017**.
10. M. M. Antonijevic, S. M. Milic, M. D. Dimitrijevic, M. B. Petrovic, M. B. Radovanovic, A. T. Stamenkovic, "The influence of pH and chlorides on electrochemical behavior of copper in the Presence of Benzotriazole", *Int. J. Electrochem. Sci.*, 4, 962 – 979, **2009**.
11. J. Ishwara Bhat, V. D. P. Alva, "Inhibition effect of miconazole nitrate on the corrosion of mild steel in hydrochloric acid

مقاله

- medium", Int. J. Electrochem. 2011, 1-8, **2011**.
12. G. K. Gomma, "Corrosion inhibition of steel by benzotriazole in sulphuric acid", Mater. Chem. Phys. 55, 235–240, **1998**.
 13. P. R. P. Rodrigues, A. H. P. Andrade, S. M. L. Agostinho "Benzotriazole as corrosion inhibitor for type 304 stainless steel in water–ethanol media containing 2 M H_2SO_4 ", Br. Corros. J. 33(3), 211–223, **1998**.
 14. K. Sabet Bokati, Ch. Dehghanian, "Adsorption behavior of 1H-benzotriazole corrosion inhibitor on aluminum alloy 1050, mild steel and copper in artificial seawater", J. Environment. Chem. Eng. 6, 1613–1624, **2018**.
 15. K. Efil, I. B. Obot, "Quantum chemical investigation of the relationship between molecular structure and corrosion inhibition efficiency of benzotriazole and its alkyl-Derivatives on iron", Protect. Metals. Phy. Chem. Sur. 53, 1139–1149, **2017**.
 16. D. Abrantes, L. Cristina, R. V. Guerreiro, S. Cláudia, E. BrunoMarinoa, "Smart coating based on double stimuli-responsive microcapsules containing linseed oil and benzotriazole for active corrosion protection", Corr. Sci. 130, 56–63, **2018**.
 17. Z. Liu, L. Wang, C. Wang, S. Sun, L. Qin, Y. An, Y. S. Xing, H. W. Sun, "Effect of corrosion inhibitor benzotriazole on the uptake and translocation of Cd in rice (*Oryza sativa* L.) under different exposure conditions", Chemosphere 186, 24–30, **2017**.
 18. A. Kulikovsky, "Why impedance of the gas diffusion layer in a PEM fuel cell differs from the Warburg finite-length impedance", Electroch. Commun. 84, 28–31, **2017**.
 19. G. Barbero, "Theoretical interpretation of Warburg's impedance in unsupported electrolytic cells", Phys. Chem. Chem. Phys. 48, 203–214, **2017**.
 20. A. Husain, K. Kupwade-Patil, A. F. Al-Aibani, M. F. Abdulsalam, "In situ electrochemical impedance characterization of cement paste with volcanic ash to examine early stage of hydration", Construct. Build. Mater. 133, 107–117, **2017**.
 21. K. Efil, I. B. Obot, "Quantum Chemical Investigation of the Relationship Between Molecular Structure and Corrosion Inhibition Efficiency of Benzotriazole and its Alkyl-Derivatives on Iron", Prot. Met. Phys. Chem. 53, 1139–1149, **2017**.
 22. K. Sabet Bokati, Ch. Dehghanian, S. Yari, "Corrosion inhibition of copper, mild steel and galvanically coupled copper-mild steel in artificial sea water in presence of 1H-benzotriazole, sodium molybdate and sodium phosphate", Corr. Sci. 126, 272–285, **2017**.
 23. J. Rodriguez, M. Mouanga, A. Roobroeck, D. Cossement, A. Mirisol, M. G. Olivier, "Study of the inhibition ability of benzotriazole on the Zn-Mg coated steel corrosion in chloride electrolyte", Corr. Sci. 132, 56–67, **2018**.
 24. Zh. Liu, L. Wang, Ch. Wang, Sh. Sun, L. Qin, Y. An, Y. Xing, H. Suna, "Effect of corrosion inhibitor benzotriazole on the uptake and translocation of Cd in rice (*Oryza sativa* L.) under different exposure conditions", Chemosphere, 186, 24–30, **2017**.
 25. K. Kamburov, T. Radev, "Polyelectrolyte-modified kaolinite nanocontainers for entrapment of corrosion inhibitor benzotriazole", Colloid. Polym. Sci. 215–226, 2018.
 26. Ch. Jing, Zh. Wanga, Y. Gong, H. Huang, Y. Ma, H. Xie, H. Li, Sh. Zhang, F. Gao, "Photo and thermally stable branched corrosion inhibitors containing two benzotriazole groups for copper in 3.5 wt% sodium chloride solution", Corr. Sci. 138, 353–371, **2018**.
 27. H. L. Huang, Z. H. Dong, Z. Y. Chen, X. P. Guo, "The effects of Cl ion concentration and relative humidity on atmospheric corrosion behaviour of PCB–Cu under adsorbed thin electrolyte layer", Corr. Sci. 53, 1230–1236, 2011.
 28. W. J. Liu, F. H. Cao, A. N. Chen, L. R. Chang, J. Q. Zhang, C. N. Cao, "Corrosion behavior of AM60 magnesium alloys containing Ce or La under thin electrolyte layers. Part 1: microstructural characterization and electrochemical behavior", Corr. Sci. 52, 627–638, **2010**.
 29. A. Subramania, A.R. Sathiya Priya, T. Vasudevan, "Diethylamine phosphate as VPI for steel components", Mater. Chemist. Phys. 100, 193–197, **2006**.
 30. D. Q. Zhang, Z. X. An, Q. Y. Pan, L. X. Gao, G. D. Zhou, "Volatile corrosion inhibitor film formation on carbon steel surface and its inhibition effect on the atmospheric corrosion of carbon steel", Appl. Surf. Sci. 253, 1343–1348, **2006**.
 31. C. H. Liang, C. J. Yang, N. B. Huang, "Tarnish protection of silver by octadecanethiol self-assembled monolayers prepared in aqueous micellar solution", Surf. Coat. Technol. 203, 1034–1044, **2009**.
 32. R. McConnell, "Volatile corrosion inhibitors offer effective protection for processing and shipment of metal-based products", Met. Finish. 106, 23–27, **2008**.
 33. D. M. Bastidas, E. Cano, E. M. Mora, "Volatile corrosion inhibitors: a review", Anti. Corros. Method. M. 52, 71–77, 2005.
 34. J. M. Bastidas, E. M. Mora, S. Feliu, "Protective action of two vapour phase inhibitors on the corrosion of mild steel", Mater. Corros. 41, 343–347, **1990**.
 35. S. M. Milic, M. M. Antonijevic, "Some aspects of copper corrosion in presence of benzotriazole and chloride ions", Corr. Sci., 51, 28–34, **2009**.
 36. M. M. Antonijevic, S. M. Milic, M. B. Petrovic, "Films formed on copper surface in chloride media in the presence of azoles", Corr. Sci. 51, 1228–1237, **2009**.
 37. M. M. Antonijevic, S. M. Milic, "Electrochemical behaviour of Cu24Zn5Al alloy in alkaline medium in the presence of chloride ions and benzotriazole", Mater. Chem. Phys. 118, 385–391, 2009.
 38. M. Finšgar, I. Milošev, "Inhibition of copper corrosion by 1,2,3-benzotriazole: a review", Corr. Sci. 52, 2737–2749, **2010**.
 39. T. Koseca, A. Legata, I. Milošev, "The comparison of organic protective layers on bronze and copper", Prog. Org. Coat. 69, 199–206, **2010**.
 40. J. Izquierdo, J. José Santanal, S. Gonzlez, R.M. Souto, "Uses of scanning electrochemical microscopy for the characterization of thin inhibitor films on reactive metals: The protection of copper surfaces by benzotriazole", Electrochim. Acta.55, 8791–8800, **2010**.
 41. J. P. Zeng, J. Y. Zhang, X. D. Gong, "Molecular dynamics simulation of interaction between benzotriazoles and cuprous oxide crystal", Comput. Theor. Chem. 963, 110–114, **2011**.
 42. T. Simbeck, S. Thomaier, C. Stock, E. Riedl, H.J. Gores, "Measurement of adsorption kinetics of benzotriazole on copper surfaces via impedance scanning quartz crystal microbalance studies", Electroch. Commun. 13, 803–805, **2011**.
 43. G. Danick, P. Michel, S. Stephan, "Inhibition of cobalt active dissolution by benzotriazole in slightly alkaline bicarbonate aqueous media", Electrochim. Acta. 52, 4927–4941, **2007**.
 44. N. Bellakhal, M. Dachraoui, "Study of the benzotriazole efficiency as a corrosion inhibitor for copper in humid air plasma", Mater. Chem. Phys. 85, 366–369, **2004**.
 45. S. A. Abd El-Maksoud, "The Effect of Organic Compounds on the Electrochemical Behaviour of Steel in Acidic Media. A review" Int. J. Electroch. Sci. 3, 528–555, **2008**.
 46. S. Muralidharan, K. L. N. Phani, S. Pitchumani, S. Ravichandran, S. V. K. Iyer, "Polyamino-Benzquinone Polymers: A New Class of Corrosion Inhibitors for Mild Steel", J. Electroch. Soc. 142, 1478–1485, **1995**.
 47. E. E. Ebensu, U. J. Ekpe, B. I. Ita, O. E. Offiong, U. J. Ibok, Mat. "Effect of molecular structure on the efficiency of amides and thiosemicarbazones used for corrosion inhibition of mild steel in hydrochloric acid", Chem. Phys. 60, 79–87, **1999**.